

Специальный практикум по небесной механике.

Задача No. 1.

Емельянов Н. В.

**ЧИСЛЕННОЕ ИНТЕГРИРОВАНИЕ
УРАВНЕНИЙ ДВИЖЕНИЯ
НЕБЕСНЫХ ТЕЛ**

Содержание

- 1.1. Введение в задачу практикума.
 - 1.1.1. Цели решения уравнений движения небесных тел.
 - 1.1.2. Общие свойства методов численного интегрирования уравнений движения.
 - 1.1.3. Метод Рунге-Кутты интегрирования обыкновенных дифференциальных уравнений.
 - 1.1.4. Алгоритм решения задач о движении небесного тела методами численного интегрирования.
 - 1.1.5. Инструкция к вычислительной программе численного интегрирования обыкновенных дифференциальных уравнений методом Э. Эверхарта.
 - 1.2. Постановка задачи практикума.
 - 1.2.1. Исследование зависимости точности численного интегрирования от величины постоянного шага интегрирования.
 - 1.2.2. Исследование зависимости точности численного интегрирования от интервала времени.
 - 1.2.3. Исходные данные для задачи Кеплера.
 - 1.2.4. Алгоритм численного интегрирования методом ломаных отрезков.
 - 1.2.5. Общая схема решения задач.
 - 1.3. Методическое указание о формулировке задачи каждому студенту.
 - 1.4. Форма отчета по задаче практикума.
- Литература.

1.1. Введение в задачу практикума.

1.1.1. Цели решения уравнений движения небесных тел

Методы численного интегрирования уравнений движения небесных тел разрабатываются и применяются для решения различных задач небесной механики. Совместно с аналитическими и качественными методами они являются процедурами, служащими целям практического познания природы.

Процесс изучения небесных тел, в первую очередь, состоит из построения модели их движения. Модель является основой всех научных изысканий. Она постоянно уточняется на основе все новых наблюдений.

Что же представляет собой модель движения небесных тел? К настоящему времени мы уже знаем достаточно много о телах Солнечной системы. Открыты законы, согласно которым взаимодействуют планеты и спутники. Эти законы выражаются в форме дифференциальных уравнений поступательного и вращательного движений тел.

Использование модели заключается в предвычислении координат и угловых положений тел на любой заданный момент времени. Таким моментом может быть либо момент очередного наблюдения небесного тела, либо момент встречи космического аппарата с небесным телом, либо момент проведения наблюдений с искусственного космического объекта.

Предвычисление орбитального и вращательного движений небесных тел может делаться на основе аналитического решения дифференциальных уравнений движения, если такое решение имеется. Однако почти все практически значимые модели движения описываются уравнениями, точное решение которых неизвестно. Что касается приближенных аналитических решений, то очень часто погрешность приближенного решения оказывается недопустимой, либо при требуемой точности процедура построения решения оказывается чрезмерно трудоемкой даже для мощнейших современных компьютеров.

Предвычисление координат и углов вращения тела на заданный момент времени может выполняться методами численного интегрирования обыкновенных дифференциальных уравнений. Преимущества численных методов по сравнению с аналитическими заключаются в относительной простоте их реализации в виде алгоритмов и вычислительных программ для компьютеров. Во многих случаях численные методы обладают большей точностью предвычисления координат небесных тел. Указанные преимущества обычно достигаются при высокой требу-

емой точности вычислений. Недостатками методов численного решения уравнений движения являются большие затраты времени вычислений, быстрый рост погрешности решения с ростом интервала предвычисления движения и невозможность достоверной оценки точности решения. При заданных уравнениях движения, начальных значениях координат тел и заданном моменте предвычисления точность решения оказывается ограниченной, сколь совершенным бы ни был применяемый численный метод решения.

Численные методы незаменимы в задачах, для которых невозможно получить аналитическое решение. Методы численного интегрирования служат также для проверки правильности и оценки точности найденного в форме ряда аналитического решения.

1.1.2. Общие свойства методов численного интегрирования уравнений движения

Постановка задачи о решении уравнений движения методами численного интегрирования распадается на два независимых этапа. Во-первых, составляются уравнения движения. Во-вторых, разрабатывается новый или выбирается один из известных методов численного интегрирования. Чтобы связать эти два этапа, необходимо принять некоторый стандартный вид уравнений движения.

Итак, в задачах численного интегрирования уравнений движения небесных тел принята следующая форма уравнений:

$$\frac{dx_i}{dt} = f_i(x_1, x_2, \dots, x_n, t) \quad (i = 1, 2, 3, \dots, n), \quad (1)$$

где $x_i(t)$ являются искомыми функциями. Обязательным условием является задание функций $f_i(x_1, x_2, \dots, x_n, t)$ таким образом, чтобы их можно было вычислять при любых заданных значениях аргументов. Эти функции могут содержать также постоянные параметры, значения которых заданы.

К настоящему времени разработано огромное множество методов численного интегрирования обыкновенных дифференциальных уравнений. Они различны по своей эффективности и области приложений. Существуют одношаговые методы и методы, основанные на интерполяционных формулах. В ряде методов используются разложения решения в ряды по полиномам Чебышева. Хороший обзор методов численного интегрирования уравнений движения, применяемых в небесной механике, дан в работе [1]. Существует даже теория методов численного решения уравнений, обобщающая множество таких методов и дающая путь разработки наиболее оптимальных схем интегрирования [2 – 5].

Разнообразные методы численного интегрирования при их применении обладают некоторыми общими свойствами. Эти свойства необходимо знать при решении конкретных задач для достижения наилучшего результата и эффективности исследований.

Основную идею методов численного интегрирования обыкновенных дифференциальных уравнений легко объяснить на простейшем из них – методе ломаных отрезков, называемом *методом Эйлера*. При этом

можно ограничиться рассмотрением одного дифференциального уравнения общего вида.

Допустим, что мы имеем одно дифференциальное уравнение

$$\frac{dx}{dt} = f(x, t),$$

в котором t есть независимая переменная – время. Требуется найти функцию $x(t)$, удовлетворяющую этому дифференциальному уравнению и начальному условию:

$$x(t_0) = x_0,$$

где t_0 – начальный момент времени, а x_0 – заданная константа.

Для начала важно понять то, что никакой метод численного интегрирования не позволит найти саму функцию $x(t)$, а только ряд ее значений на конечном числе моментов времени. Рассмотрим некоторый момент времени t_1 , недалеко отстоящий от момента t_0 . Разность $t_1 - t_0$ обозначим через h , то есть

$$h = t_1 - t_0.$$

Точное значение $x(t_1)$ нам неизвестно, но если величина h достаточно мала, а функция $f(x, t)$ непрерывна, то приближенное значение x в момент времени t_1 можно определить по формуле

$$x_1 = x_0 + f(x_0, t_0) h.$$

Очевидно, что отличие x_1 от точного значения $x(t_1)$ будет тем меньше, чем меньше h . *Погрешность* обусловлена возможной нелинейностью функции $x(t)$ на отрезке $[t_0, t_1]$.

Далее мы можем определить приближенное значение функции $x(t)$ на момент времени $t_2 = t_1 + h$ по формуле

$$x_2 = x_1 + f(x_1, t_1) h.$$

Погрешность найденного значения искомой функции в момент t_2 будет складываться из погрешности x_1 и погрешности, вызванной нелинейностью функции $x(t)$ на отрезке $[t_1, t_2]$.

Теперь алгоритм определения значений искомой функции на последовательные моменты $t_i = t_{i-1}$ ($i = 1, 2, \dots$) можно записать так:

$$x_i = x_{i-1} + f(x_{i-1}, t_{i-1}) h. \tag{2}$$

В этом алгоритме величину h называют *постоянным шагом* численного интегрирования. Ошибка значения x_i будет содержать сумму ошибок, совершенных на всех предыдущих шагах интегрирования. Эти ошибки могут иметь различные величины и знаки, но при достаточно произвольной функции $f(x, t)$ *суммарная ошибка*, как правило, возрастает. Очевидно, что возрастание суммарной ошибки происходит с нарастанием числа выполненных шагов интегрирования. Чем больше шагов при постоянной величине шага, тем больше ошибка такого решения.

Любая задача численного интегрирования уравнений движения небесного тела обычно ставится так, что в конечном итоге требуется найти координаты тела на заданный конечный момент времени t_k . Если шаг интегрирования выбран, то можно подсчитать количество шагов k , необходимое для решения задачи. Очевидно, что

$$k = E \left(\frac{t_k - t_0}{h} \right) + 1.$$

Метод Эйлера относится к группе так называемых *одношаговых методов* численного интегрирования. Кроме них существуют еще экстраполяция и многошаговые методы [1]. Все эти методы имеют некоторые общие свойства. При их применении возникают общие проблемы. Одна из проблем – это *выбор шага интегрирования*. На первый взгляд ясно, что если шаг интегрирования уменьшить, то ошибка, допускаемая на каждом шаге, уменьшится, а, следовательно, повысится точность решения уравнений движения небесного тела. При заданном интервале времени предвычисления движения, то есть *интервала интегрирования* $t_k - t_0$, количество выполняемых шагов возрастет, что вызовет увеличение затрат вычислительного времени, то есть времени работы компьютера. В некоторых случаях максимальная точность решения определяется только допустимыми затратами времени вычислений.

На первый взгляд кажется, что если увеличение вычислительных затрат еще допустимо, то улучшения точности всегда можно достигнуть уменьшением шага интегрирования. Можно провести такой эксперимент. Задать конкретные уравнения движения, численное решение которых можно проверить. Это могут быть уравнения, имеющие точное аналитическое решение, или уравнения, допускающие известное частное решение. Далее можно задать интервал интегрирования $[t_0, t_k]$, взять какой-нибудь метод численного интегрирования и решать задачу многократно, уменьшая каждый раз шаг интегрирования. Изучая

зависимость точности решения от шага интегрирования, мы увидим, что сначала при уменьшении шага погрешность численного решения уменьшается. Но при некоторых весьма малых значениях шага интегрирования точность начнет ухудшаться, сколь бы мы ни уменьшали шаг. Что же происходит?

Дело в том, что все вычисления делаются всегда с фиксированной точностью выполнения простых арифметических операций. Ее можно улучшить с помощью специальных способов отображения чисел в памяти компьютера и применением соответствующих алгоритмов арифметических действий. Это приведет к еще большим вычислительным затратам. Важно то, что в любом компьютере с соответствующим программным обеспечением максимальная точность представления чисел и точность выполнения арифметических фиксирована. При каждой операции совершается некоторая ошибка. Ее называют *ошибкой округления* чисел. При последовательном выполнении арифметических действий ошибки округления накапливаются.

Чем меньше шаг интегрирования, тем меньше погрешность формулы (2), меньше ошибка, совершаемая на каждом шаге, и меньше ее накопление на конечный момент времени. С другой стороны, число шагов растет, и ошибки округления накапливаются. Таким образом существует некоторый оптимальный шаг интегрирования, при котором погрешность вычисления значения искомой функции на конечный момент времени минимальна. Для выбранного метода интегрирования и заданной конкретной задачи лучшая точность недостижима. Путем совершенствования методов численного интегрирования можно добиться некоторого улучшения точности. Однако современные методы уже столь совершенны, что дальнейшее повышение точности почти не происходит. На практике вычисления с оптимальным шагом, как правило, не производят – слишком велики при этом вычислительные затраты.

Следующую проблему вызывает тот факт, что степень нелинейности искомой функции может быть различна на разных участках интервала $[t_0, t_k]$. При заданном постоянном шаге интегрирования суммарная ошибка создается, в основном, на тех участках, где нелинейность максимальна. Нет смысла выбирать такой же малый шаг на других участках и тратить напрасно время на вычисления с излишней точностью. Оптимально было бы выбирать на каждом участке свой шаг интегрирования в зависимости от степени нелинейности искомой функции. В совершенных методах численного интегрирования поведение решения анализируется на предыдущем шаге, чтобы экономно выбрать следую-

щий шаг. Для этого, конечно, перед началом интегрирования задают некоторый параметр, контролирующий точность вычислений на каждом шаге. Этот параметр называют *заданной точностью интегрирования*, однако эта точность далеко не совпадает с *точностью получения решения* на конечный момент времени t_k . Эти две точности обычно пропорциональны при одной и той же формулировке задачи, то есть при заданных уравнениях движения, начальных условиях и конечном моменте времени. Для анализа поведения решения используют различные приемы и формулы. Один из них состоит в том, что каждый шаг делают дважды: сначала один шаг величиной h , затем два шага, величиной $h/2$. Разницу двух результатов сравнивают с заданной константой – *заданной точностью интегрирования*. Если разность оказывается больше, то шаг уменьшают вдвое. Если же эта разность в десять или более раз меньше, чем заданная точность, то шаг увеличивают. В наиболее совершенных алгоритмах численного интегрирования используют более сложные приемы. К сожалению, на практике не всегда *автоматический выбор шага* может быть эффективен. В некоторых случаях все же используют *постоянный шаг интегрирования*.

Наибольшую проблему в практике численного интегрирования уравнений движения небесных тел представляет оценка точности получаемого решения. Оказывается, не существует строгих формул или условий, позволяющих выполнить такие оценки. На деле используют некоторые приемы, которые все же нельзя считать вполне надежными. Один из них – это интегрирование “вперед-назад”. То есть после получения значения искомой функции на конечный момент времени это значение принимают за исходное и выполняют интегрирование с отрицательным шагом до начального момента. В конце сравнивают полученный результат с начальным условием. Полученную разность значений и считают точностью выполненного интегрирования. Иногда такие оценки получаются удовлетворительными, но чаще всего реальная точность оказывается хуже. Существуют и другие методы оценки точности численного интегрирования, но все они на самом деле ненадежны.

1.1.3. Метод Рунге-Кутты интегрирования обыкновенных дифференциальных уравнений

Метод ломаных отрезков, изложенный в предыдущем параграфе, почти не применяется на практике. Существуют более точные методы.

Одним из них является *метод Рунге-Кутты* [1, 6]. Этот метод далеко не самый совершенный, однако в свое время он широко применялся в астрономических задачах. Формулы метода Рунге-Кутты достаточно просты [6]. Их можно легко запрограммировать на любом подходящем языке программирования. В задачах, где не требуется получать предельно высокую точность численного решения уравнений движения, метод Рунге-Кутты может быть эффективно применен.

Опишем этот метод и формулы, по которым выполняются вычисления. Рассмотрим задачу численного интегрирования системы обыкновенных дифференциальных уравнений первого порядка

$$\frac{dx_i}{dt} = f_i(x_1, x_2, \dots, x_n, t) \quad (i = 1, 2, 3, \dots, n) \quad (3)$$

с начальными условиями $x_1 = x_1^{(0)}$, $x_2 = x_2^{(0)}$, ..., $x_n = x_n^{(0)}$ при $t = t_0$. Переменные x_1, x_2, \dots, x_n для удобства будем называть координатами, а независимую переменную t – временем.

Формулы Рунге-Кутты, приводимые ниже, позволяют определить координаты на момент времени $t_{k+1} = t_k + h$, если они известны на момент времени t_k . Формулы составлены на основе метода интерполяции полиномами относительно шага интегрирования h , в которых пренебрегают членами некоторого порядка малости относительно величины шага. В данном случае сохраняются все члены до 4-го порядка включительно относительно шага. Формулы Рунге-Кутты имеют вид

$$x_i^{(k)} = x_i(t_k),$$

$$p_i^{(k)} = f_i \left(x_1^{(k)}, x_2^{(k)}, \dots, x_n^{(k)}, t_k \right),$$

$$q_i^{(k)} = f_i \left(x_1^{(k)} + \frac{1}{2}hp_1^{(k)}, x_2^{(k)} + \frac{1}{2}hp_2^{(k)}, \dots, x_n^{(k)} + \frac{1}{2}hp_n^{(k)}, t_k + \frac{1}{2}h \right),$$

$$r_i^{(k)} = f_i \left(x_1^{(k)} + \frac{1}{2}hq_1^{(k)}, x_2^{(k)} + \frac{1}{2}hq_2^{(k)}, \dots, x_n^{(k)} + \frac{1}{2}hq_n^{(k)}, t_k + \frac{1}{2}h \right),$$

$$s_i^{(k)} = f_i \left(x_1^{(k)} + hr_1^{(k)}, x_2^{(k)} + hr_2^{(k)}, \dots, x_n^{(k)} + hr_n^{(k)}, t_k + h \right),$$

$$x_i^{k+1} = x_i^{(k)} + \frac{1}{6}h \left(p_i^{(k)} + 2q_i^{(k)} + 2r_i^{(k)} + s_i^{(k)} \right)$$

$$(i = 1, 2, 3, \dots, n).$$

Из приведенных формул легко видеть схему алгоритма одношаговых методов численного интегрирования обыкновенных дифференциальных уравнений вида (3). Алгоритм состоит из двух относительно независимых блоков. В первом блоке производятся вычисления по формулам Рунге-Кутты. Входными данными для этого блока являются значения искомых функций на момент времени t_k . Результат работы блока – значения искомых функций на момент времени t_{k+1} . Разумеется, исходными параметрами являются также сами моменты t_k и t_{k+1} , а также шаг интегрирования h . Реализация этого блока не зависит от конкретной задачи небесной механики. Второй блок – вычисления правых частей уравнений (3) при любых заданных аргументах x_1, x_2, \dots, x_n, t . Этот блок полностью определяется постановкой задачи о движении или вращении небесных тел и не зависит от метода интегрирования.

1.1.4. Алгоритм решения задач о движении небесного тела методами численного интегрирования

Рассмотрим следующий класс задач о движении системы небесных тел. Пусть даны дифференциальные уравнения относительно координат тел. Координатами могут быть как прямоугольные координаты центров масс каждого тела, так и углы поворота каждого тела в некоторой заданной системе координат. Уравнения должны быть выражены в форме (3), а их правые части заданы так, что известны правила, по которым их можно вычислять для любых заданных значений искомых координат и, возможно, времени. Кроме того, должны быть заданы значения координат на некоторый начальный момент времени t_0 . Обозначим эти значения через $x_1^{(0)}, x_2^{(0)}, \dots, x_n^{(0)}$. Требуется определить значения координат на некоторый другой также заданный момент времени t_1 . Практические цели решения задачи о движении системы тел диктуют необходимость последовательного вычисления координат также и на другие заданные моменты t_2, t_3, \dots, t_k . Чаще всего моменты выбираются равноотстоящими так, что

$$t_i = t_{i-1} + H \quad (i = 1, 2, \dots, k), \quad (4)$$

где H – заданный шаг табулирования по времени (но не шаг интегрирования). Таким образом, результатом решения задачи будут значения искомых функций на моменты t_1, t_2, \dots, t_n , то есть $x_1^{(i)}, x_2^{(i)}, \dots, x_n^{(i)}$ ($i = 1, 2, \dots, k$). Поставленная задача является типичной не только в прак-

тической небесной механике, но также при различных исследованиях теоретического характера.

Соответственно сформулированной постановке задачи можно составить алгоритм ее решения. Он будет состоять из следующих блоков:

- (1.) Задание начального момента времени, начальных значений координат, шага табулирования моментов H . На этом этапе задается также точность численного интегрирования либо шаг интегрирования, если интегрирование ведется с постоянным шагом.
- (2.) Задание следующего момента времени для выдачи результата.
- (3.) Выполнение численного интегрирования уравнений и получение значений искомых функций на следующий момент времени.
- (4.) Запоминание полученных значений в файле или непосредственное использование результата.
- (5.) Проверка достижения последнего заданного момента времени и переход к пункту (2), если последний момент еще не достигнут.
- (6.) Прекращение работы алгоритма.

Пункт (1.) выполняется путем ввода чисел из файла исходных данных или заданием значений прямо в тексте вычислительной программы.

Пункт (2.) выполняется по формуле (4).

Реализация пункта (3.) в вычислительной программе должна быть независима от поставленной задачи, чтобы любую конкретную задачу можно было решать любым методом численного интегрирования. Поэтому сам метод интегрирования оформляют в виде *отдельной процедуры* на выбранном языке программирования. Эту процедуру обычно составляют специалисты по методам численного интегрирования обыкновенных дифференциальных уравнений. Для использования процедуры в конкретной задаче нужно знать только форму обращения к этой процедуре и способы обмена данными с ней. Необходимая информация обычно содержится в инструкции, которой снабжается процедура при ее передаче или публикации. Пункт (3.) алгоритма реализуется согласно инструкции к процедуре. Пример такой инструкции приводится в следующем параграфе.

На первый взгляд в описанном выше алгоритме совершенно отсутствует блок вычисления правых частей решаемых уравнений. На самом деле этот блок включен в пункт (3.), но реализуется он в виде

независимой процедуры, которую составляет специалист, сформулировавший и решающий задачу. Эта независимая процедура используется процедурой численного интегрирования, которая не зависит от вида правых частей уравнений. Чтобы организовать составление алгоритма и программы, устанавливаются некоторые правила, по которым происходит обращение к процедуре вычисления правых частей уравнений движения. Эти правила также являются частью инструкции к процедуре интегрирования. Алгоритм процедуры вычисления правых частей уравнений не зависит от метода интегрирования, однако заголовок этой процедуры должен быть согласован с инструкцией к процедуре численного интегрирования.

Пункты (4.), (5.) и (6.) алгоритма достаточно просты для программирования. Заметим только, что пункт (4.) может быть реализован более замысловатым способом. Например, можно запрограммировать построение графических изображений на экране компьютера в зависимости от полученных значений искомых функций. В итоге последовательная смена картинок в процессе решения задачи даст наглядное представление о движении системы тел.

Заметим также, что при использовании некоторых процедур численного интегрирования необходимо задать определенные параметры работы процедуры. Это могут быть, например, параметры, задающие точность интегрирования. В то же время результатом выполнения процедуры могут быть некоторые вспомогательные данные, которые также можно использовать в программе решения задачи.

1.1.5. Инструкция к вычислительной программе численного интегрирования обыкновенных дифференциальных уравнений методом Э. Эверхарта

В практической небесной механике применяются много различных методов численного интегрирования уравнений движения. Она дает стимул для развития и совершенствования таких методов. В то же время задачи небесной механики являются своеобразным полигоном для испытания новых разработок в этой области. Одним из наиболее применяемых в последнее время в небесной механике методов численного интегрирования является метод *Э. Эверхарта*. Показательно, что его автором является специалист в области небесной механики. Метод подробно описан в книге [1], где даны также ссылки на оригинальные

публикации Э. Эверхарта. Первоначально процедура интегрирования была составлена на языке программирования Фортран самим Эверхартом, поэтому ее так и называют *процедурой Эверхарта*.

Основным достоинством метода Эверхарта является высокая достижимая точность интегрирования. Платой за точность оказываются большие затраты времени вычислений. Процедура интегрирования по методу Эверхарта составлена так, что с помощью двух параметров может быть задана необходимая точность вычислений. В зависимости от заданной точности изменяются необходимые затраты времени вычислений. При низкой требуемой точности вычислительные затраты будут небольшими, однако наилучшее соотношение точности вычислений и затрат времени достигается именно при высокой заданной точности. Основным параметром ε , определяющим точность вычислений на каждом шаге, выражается в виде

$$\varepsilon = 10^l, \quad (5)$$

где l – некоторое заданное целое число.

В методе Эверхарта используются специальные аппроксимирующие полиномы по степеням шага интегрирования. Степень этих полиномов N_{order} может быть выбрана из следующего конечного списка: 7, 11, 15, 19, 23, 27. В процедуре можно взять любое из этих значений. Однако при невысокой заданной точности интегрирования бесполезно задавать высокую степень полиномов. Это может привести лишь к неоправданным затратам времени вычислений. Поэтому N_{order} выбирают в зависимости от заданной точности вычислений в пределах

$$\frac{3}{4}l \leq N_{order} \leq 2l, \quad (6)$$

где l – целое число, фигурирующее в формуле (5).

Процедура Эверхарта позволяет решать уравнения движения как в режиме автоматического выбора шага интегрирования, так и при постоянном заданном шаге. Поскольку в небесной механике большинство задач описываются обыкновенными дифференциальными уравнениями второго порядка, то для удобства программирования задачи процедура Эверхарта позволяет решать сразу уравнения второго порядка, не разлагая их на удвоенное число уравнений первого порядка вида (1).

Наибольшую часть времени интегрирования занимают вычисления правых частей уравнений. Поэтому эффективность процедуры характеризуется количеством обращений к вычислению правых частей уравнений в конкретной задаче. Для оценки эффективности процедуры ока-

зывается интересным также количество выполненных шагов интегрирования при автоматическом выборе шага. Обе количественные характеристики выдаются процедурой через ее выходные параметры.

Метод Эверхарта содержит процесс итераций при построении полиномов по степеням шага интегрирования на первом шаге. Обычно оказывается достаточным выполнить две итерации, но в некоторых задачах увеличение числа итераций на этом этапе алгоритма может привести к небольшому повышению эффективности процедуры без существенного увеличения затрат времени вычислений. Поэтому входным параметром процедуры является указанное число итераций, с помощью которого можно управлять эффективностью в некоторых небольших пределах. На начальной стадии решения конкретной задачи мало что известно о свойствах уравнений с точки зрения применения процедуры Эверхарта. Поэтому без сомнений можно задать число итераций равным 2.

В зависимости от того, уравнения какого вида нужно решать методом Эверхарта, задают *класс уравнений*. Уравнения разделяются на три класса.

Уравнения первого класса имеют вид (1). Ко второму классу относятся уравнения второго порядка вида

$$\frac{d^2 x_i}{dt^2} = f_i(x_1, x_2, \dots, x_n, \frac{dx_1}{dt}, \frac{dx_2}{dt}, \dots, \frac{dx_n}{dt}, t) \quad (i = 1, 2, 3, \dots, n). \quad (7)$$

Уравнения третьего класса отличаются от уравнений (7) только тем, что правые части не зависят от скорости, то есть от первых производных по времени от искомых функций. Это наиболее часто встречающиеся в небесной механике уравнения. Класс таких уравнений по традиции обозначается как -2. Уравнения класса -2 имеют вид

$$\frac{d^2 x_i}{dt^2} = f_i(x_1, x_2, \dots, x_n, t) \quad (i = 1, 2, 3, \dots, n). \quad (8)$$

После описания всех особенностей процедуры Эверхарта приведем здесь инструкцию для ее использования. Использование реализуется вызовом процедуры в программе пользователя. Инструкция состоит в правилах записи обращения и описании параметров процедуры. Форма записи, конечно, зависит от используемого языка программирования. Обычно это один из языков процедурного типа, например, Фортран, Паскаль или Си. Обозначения и смысл параметров будут одинаковыми в этих трех случаях.

Если программа вычислений составляется на языке программирования Фортран, обращение к процедуре в программе пользователя имеет вид

```
call Rada27(X, V, TI, TF, XL, LL, NV, NI, NF, NS, NCLASS, NOR)
```

Если программа вычислений составляется на языках программирования Си или Паскаль, обращение имеет вид

```
Rada27(X, V, TI, TF, XL, LL, NV, NI, NF, NS, NCLASS, NOR);
```

Опишем тип и смысл каждого параметра. Удобно начать с входного параметра *NV*. Это параметр целого типа. Описание соответствующей переменной в программе различно на разных языках программирования. Параметр вызывается процедурой по его значению, то есть при обращении к процедуре на месте этого параметра может стоять любое выражение целого типа. Параметр *NV* задает число искомых функций *n*.

Параметр *NCLASS* задает класс решаемых уравнений. Он может иметь значения 1, 2 или -2 соответственно описанной выше классификации уравнений. Параметр *NCLASS* целого типа. Он вызывается процедурой по значению.

Параметр *X* - одномерный массив, описанный в программе пользователя на Фортране в виде

```
...
      DIMENSION X(<n>)
      DOUBLE PRECISION X
```

...
на языке Си в виде

```
...
      double X[<n+1>];
```

...
или на языке Паскаль в виде

```
...
      X: array [0.. <n+1>] of Double;
```

...
где *n* - константа, определяющая число уравнений. Этот массив используется для хранения и передачи значений искомых функций. Процедура Эверхарта составлена на трех языках так, что в массиве *X* используются элементы, начиная с номера 1. Поскольку нумерация элементов

массива организована различным образом на разных языках, то на языках Паскаль и Си приходится описывать массив на один элемент больше, при этом элемент номер 0 не используется. Перед обращением к процедуре в этом массиве должны содержаться начальные значения на момент t_0 . После обращения элементы массива X будут содержать значения искомым функций на конечный момент t_k . Параметр X является массивом открытого типа, то есть его длина в программе пользователя может быть любой, однако он должен быть описан в указанном выше виде.

Параметр V – одномерный массив, описанный и используемый в программе пользователя аналогично массиву X. Массив V используется только для уравнений классов 1 и -2 для хранения и передачи значений первых производных от искомым функций по времени. Перед обращением к процедуре в этом массиве должны содержаться начальные значения компонент скоростей на момент t_0 . После обращения элементы массива V будут содержать значения компонент скоростей на конечный момент t_k . Параметр V также, как и X, является массивом открытого типа, его длина в программе пользователя может быть любой, при этом элемент массива V[0] в процедуре не используется.

Параметры TI и TF типа DOUBLE PRECISION на Фортране или double на Си или Паскале задают начальный и конечный моменты времени t_0 и t_k , соответственно. Эти параметры передаются по значению.

Параметр LL целого типа задает точность вычислений. Он соответствует величине l в формуле (5). Этот параметр передается по значению. Автоматический выбор шага интегрирования делается в том случае, если значение параметра LL задано положительным. Для включения режима постоянного шага интегрирования следует задать значение LL равным любому отрицательному числу. В этом режиме для задания величины постоянного шага интегрирования используется параметр XL типа DOUBLE PRECISION на Фортране или double на Си или Паскале. Этот входной параметр передается по значению. При автоматическом выборе шага интегрирования параметр XL не используется.

Для задания степени аппроксимирующих полиномов N_{order} служит входной параметр NOR целого типа. Он передается в процедуру по значению. Для выбора значения этого параметра следует использовать неравенства (6).

Параметр NI целого типа задает число итераций при определении аппроксимирующего полинома. Это входной параметр, он передается в процедуру по значению. Как уже указано выше, значение этого па-

раметра может быть выбрано равным 2, если наиболее оптимальное значение этого параметра неизвестно.

Выходные параметры NF и NS передают в программу пользователя количество сделанных обращений к вычислению правых частей уравнений и количество выполненных шагов интегрирования, соответственно. Эти параметры передаются в процедуру по наименованию. На месте этих параметров могут стоять только идентификаторы переменных целого типа.

Теперь рассмотрим то, как процедура численного интегрирования Эверхарта взаимодействует с *процедурой вычисления правых частей уравнений*, которую должен составлять пользователь. В соответствии с формой обращения к этой процедуре внутри процедуры Эверхарта ее заголовок в программе пользователя должен иметь вид на Фортране

...

```
SUBROUTINE FORCE(Xc, Vc, TM, F)
DOUBLE PRECISION Xc(1),Vc(1),TM,F(1)
```

...

на Си

...

```
void FORCE(double *Xc, double *Vc, double TM, double *F)
```

...

и на Паскале

...

```
procedure Force(var Xc, Vc : array of Double; TM: Double;
                var F: array of Double );
```

...

Массивы Xc и Vc при входе в процедуру содержат значения аргументов функций, определяющих правые части решаемых уравнений. В массиве Xc хранятся значения координат, а в массиве Vc – значения производных от координат по времени. Аргументы располагаются в массивах согласно их номерам, начиная с 1. При этом элементы массивов Xc[0] и Vc[0] никогда не используются. Кроме того, параметр Vc используется только тогда, когда решаются уравнения класса 2.

Входной параметр TM типа DOUBLE PRECISION (или double) задает текущий момент времени – аргумент правых частей уравнений. Он передается в процедуру по его значению. Если правые части не зависят от времени, то параметр TM не используется.

Результат вычислений правых частей уравнений пользователь должен поместить в элементах выходного массива F. Для этого последова-

тельно используются элементы этого массива, начиная с первого. Нулевой элемент массива F не используется.

При составлении вычислительной программы численного решения дифференциальных уравнений движения небесных тел могут проявляться некоторые особенности, связанные с применяемым языком программирования и другими средствами программирования, например, *компилятором*. В частности, необходимо знать, что процедура Эверхарта, записанная на языке Паскаль, использует для своей работы несколько рабочих массивов, которые должны быть описаны вне тела процедуры как глобальные переменные с фиксированными именами. Длина этих рабочих массивов зависит от количества искомых функций, то есть от значения n в формулах (1), (7) и (8). Проще всего зарезервировать некоторую длину этих массивов и помнить максимальное допустимое число искомых функций, которое нельзя превышать. В версии процедуры, которую мы используем на языке Паскаль, упомянутые массивы объявляются в модуле, содержащем процедуру Rada27, но вне тела этой процедуры. Эти объявления имеют вид

```
var F1, FJ, Y, Z : array [0..60] of Double;  
    BE, BT, B : array [1..13,1..60] of Double;
```

В этом случае число 60, фигурирующее в объявлениях рабочих массивов, означает максимальное число искомых функций. Если необходимо интегрировать уравнения с большим числом искомых функций, то вместо числа 60 в объявлениях массивов нужно поставить большее число. При необходимости можно сэкономить занимаемую массивами память компьютера, если вместо 60 поставить реально используемое число искомых функций.

При программировании процедуры Forge вычисления правых частей уравнений могут потребоваться параметры, которые вводятся или задаются в основной программе. Передачу значений этих параметров можно сделать только через глобальные переменные, объявленные в одном из модулей программы и связанные через интерфейсы модулей.

При использовании варианта процедуры Эверхарта на других языках программирования указанные выше рабочие массивы могут описы-

ваться иначе.

1.2. Постановка задачи практикума

Варианты задачи практикума разветвляются по различным признакам. Первый признак – это выбор решаемой задачи. Вторым признаком – исследуемая механическая модель. Третьим признаком – метод численного интегрирования. Рассмотрим отдельно эти варианты.

1.2.1. Исследование зависимости точности численного интегрирования от величины постоянного шага интегрирования.

Как уже было сказано во Введении, точность результатов численного интегрирования зависит от величины шага интегрирования не монотонно. При уменьшении шага точность возрастает (погрешность уменьшается). Но при достаточно малых шагах погрешность может не уменьшаться с уменьшением шага и даже возрасти. Именно зависимость точности численного интегрирования от величины постоянного шага интегрирования предлагается изучить в данном варианте задачи.

Поскольку для произвольных дифференциальных уравнений точность численного интегрирования оценить невозможно, мы будем интегрировать такие уравнения, для которых известно точное аналитическое решение, и сравнивать результат численного интегрирования с точным аналитическим решением. Ограничимся моделями, в которых движение происходит в неизменной плоскости. При этом рассмотрим такие случаи, когда движение периодическое. Тогда для сравнения нам даже не понадобится само аналитическое решение. Известно, что в периодическом движении через период T точка окажется в том же месте с той же скоростью, что и в начальный момент времени. Поэтому погрешность численного интегрирования мы будем оценивать по расстоянию между начальным положением точки с координатами x_0, y_0 и ее положением x, y после численного интегрирования уравнений движения на интервале времени в один период. Это расстояние и будет погрешностью численного интегрирования.

Алгоритм исследования будет примерно следующим. Вначале возьмем довольно большой шаг численного интегрирования $h = h_0$. Можно, например, взять $h_0 = T/2$. Выполним интегрирование и вычислим ве-

личину погрешности

$$\varepsilon = \sqrt{(x - x_0)^2 + (y - y_0)^2}.$$

Затем будем несколько раз повторять такой процесс решения, каждый раз исходя из начальной точки, уменьшая шаг интегрирования h вдвое. Если пронумеровать такие варианты решения индексом $j = 1, 2, \dots, N$, то получим в результате ряд значений

$$j, h_j = h_0 2^{j-1}, \varepsilon_j \quad (j = 1, 2, \dots, N) .$$

Полученную таблицу можно напечатать. Затем следует построить по этой таблице график. При этом на графике значения h_j, ε_j лучше откладывать в логарифмической шкале.

Количество вариантов N следует выбрать опытным путем, исходя из приемлемого времени вычислений на компьютере.

По графикам можно увидеть искомую зависимость точности численного интегрирования от шага интегрирования. Можно установить также то значение шага интегрирования, после которого дальнейшее уменьшение шага уже нецелесообразно.

Такие исследования можно делать отдельно для ряда начальных условий, для нескольких механических моделей, обладающих описанными выше свойствами, и нескольких методов численного интегрирования.

Таким образом можно сравнить достижимую точность и эффективность для разных методов. Сравнивать нужно решения для одной и той же механической модели (уравнений движения) и для одних и тех же начальных условий.

Заметим, что обычно в процедурах численного интегрирования результат оказывается в программе в том же массиве переменных, что и начальные условия. Поэтому при каждом запуске интегрирования следует заново засылать в эти переменные значения начальных условий.

1.2.2. Исследование зависимости точности численного интегрирования от интервала времени

Такое исследование можно выполнять для тех же моделей, что и в предыдущем варианте задачи. Следует использовать то обстоятельство, что в периодическом движении, сколько бы точка ни двигалась, она через каждый период должна оказываться в начальном положении. Однако из-за погрешности численного интегрирования после каждого периода точка будет смещаться от ее начального положения.

Поставим задачу следующим образом. Выберем подходящий шаг интегрирования h и не будем его изменять в процессе исследования. Зададим начальные условия x_0, y_0 и выполним интегрирование на интервале времени одного периода движения T . По результату интегрирования x, y вычислим значение погрешности ε по формуле

$$\varepsilon = \sqrt{(x - x_0)^2 + (y - y_0)^2}.$$

Далее будем повторять интегрирование несколько раз, задавая на каждом этапе начальные условия по результату, который получился в предыдущем интегрировании. Пронумеруем выполненные этапы индексом $j = 1, 2, \dots, N$. Очевидно, что на каждом этапе номер j мы будем получать решение уравнений для момента времени, отстоящем от начального на интервал времени $t_j = j \times T$.

Количество этапов N следует выбрать опытным путем, исходя из приемлемого времени вычислений на компьютере.

Таким образом получится ряд значений

$$j, t_j, \varepsilon_j \quad (j = 1, 2, \dots, N) .$$

Полученную таблицу можно напечатать. Затем следует построить по этой таблице график. На графике получится зависимость точности численного интегрирования от интервала времени.

Такие исследования можно делать отдельно для нескольких значений шага интегрирования, для ряда начальных условий, для нескольких механических моделей, обладающих описанными выше свойствами, и нескольких методов численного интегрирования.

Так можно изучить поведение погрешности со временем в зависимости от выбранного шага интегрирования, построив на одном рисунке несколько графиков, соответствующих разным величинам шага. Можно также сравнить ход изменения погрешности со временем для разных методов интегрирования.

Заметим, что обычно в процедурах численного интегрирования результат оказывается в программе в том же массиве переменных, что и начальные условия. Поэтому при каждом следующем этапе интегрирования эти массивы уже будут содержать необходимые начальные условия, которые берутся как результат предыдущего этапа. Заново засылать в эти переменные исходные значения начальных условий не сле-

дует.

1.2.3. Исходные данные для задачи Кеплера.

Как уже сказано в предыдущих разделах, не существует надежных и достоверных методов оценки точности численного интегрирования в задачах небесной механики. Точность численного интегрирования можно установить только тогда, когда известно точное аналитическое решение. На практике в таких случаях отпадает необходимость не только в оценках точности, но в самом численном интегрировании, так как закон движения задан формулами, вычисление по которым делается сразу с точностью представления чисел в компьютере. Однако свойства и возможности методов численного интегрирования оказываются аналогичными при решении уравнений возмущенного движения и при решении уравнений, для которых известно общее аналитическое решение. Поэтому разумно узнавать и изучать эти свойства на таких простых механических моделях.

Одной из механических моделей, для которых известно точное аналитическое решение, является задача Кеплера. Для многих реальных небесных тел эта модель уже дает приближенное представление о движении. При точном описании движения небесных тел задача Кеплера используется как основа для применения теории возмущений.

Для наглядности рассмотрим задачу Кеплера в приложении к описанию движения искусственных спутников Земли. В этом случае притягивающим центром является Земля, масса которой сосредоточена в ее центре, а движущаяся по действию ее притяжения материальная точка – это искусственный спутник.

Движение точки в задаче Кеплера происходит в неизменной плоскости. Поэтому для описания движения можно ограничиться системой из двух координат, которые для удобства программирования получения решения обозначим через x_1, x_2 . Уравнения движения в этой задаче записываются в виде

$$\begin{aligned}\frac{d^2 x_1}{dt^2} &= -\frac{\mu x_1}{r^3}, \\ \frac{d^2 x_2}{dt^2} &= -\frac{\mu x_2}{r^3},\end{aligned}$$

где t - время, μ - гравитационный параметр, а r определяется формулой

$$r = \sqrt{x_1^2 + x_2^2}.$$

Метод Рунге-Кутты, как он описан выше, применяется для системы обыкновенных дифференциальных уравнений первого порядка. Поэтому перепишем уравнения движения задачи Кеплера в следующем виде:

$$\begin{aligned}\frac{dx_1}{dt} &= x_3, \\ \frac{dx_2}{dt} &= x_4, \\ \frac{dx_3}{dt} &= -\frac{\mu x_1}{r^3}, \\ \frac{dx_4}{dt} &= -\frac{\mu x_2}{r^3}.\end{aligned}$$

Правые части этих четырех уравнений зависят от четырех искомых функций x_1, x_2, x_3, x_4 . Вид этих уравнений подходит под общий вид уравнений движения (3).

Поскольку под притягивающим центром мы решили рассматривать Землю, то следует взять $\mu = 398601.3 \text{ км}^3/\text{с}^2$.

Теперь нужно задать начальные условия движения, то есть значения четырех искомых функций x_1, x_2, x_3, x_4 на начальный момент времени t_0 . Обозначим эти значения через $x_1^{(0)}, x_2^{(0)}, x_3^{(0)}, x_4^{(0)}$. Для простоты будем предполагать, что в начальный момент времени спутник находится в перигее. Не ограничивая общности можно считать, что $x_2^{(0)} = 0, x_3^{(0)} = 0$. Если при этом $x_1^{(0)}, x_4^{(0)}$ заданы, то период обращения T определится по формуле кеплеровского движения

$$T = 2\pi\mu \left(\frac{x_1^{(0)}}{2\mu - x_4^{(0)2} x_1^{(0)}} \right)^{\frac{3}{2}}.$$

Если кеплеровскую орбиту задавать двумя параметрами – расстоянием в перигее $x_1^{(0)}$ и эксцентриситетом e , то скорость в перигее $x_4^{(0)}$ и период обращения T можно вычислить из соотношений

$$x_4^{(0)} = \sqrt{\frac{\mu}{x_1^{(0)}}(1+e)}, \quad T = \frac{2\pi}{\sqrt{\mu}} \left(\frac{x_1^{(0)}}{1-e} \right)^{\frac{3}{2}}.$$

Так как μ выражен в $\text{км}^3/\text{с}^2$, то, задавая $x_1^{(0)}$ в км, получим период T , выраженный в секундах.

Таблица 1: Параметры кеплеровской орбиты.

e	$x_4^{(0)}$	T
0.1	7.403220836230674	8340.301091536389
0.3	8.048149554400688	12159.01609766036
0.5	8.645099406600250	20141.43860897035
0.7	9.203411120340110	43337.47572288957

Для $x_1^{(0)} = 8000$ км и некоторых значений эксцентриситета e значения $x_4^{(0)}$ и T даны в табл. 1. Эти значения можно взять для численного интегрирования уравнений движения задачи Кеплера.

1.2.4. Алгоритм численного интегрирования методом ломаных отрезков

Выше метод ломаных отрезков рассматривался в приложении к одному уравнению первого порядка относительно одной переменной. Чтобы провести исследования для задачи Кеплера и других задач, нужно записать формулы метода для произвольного числа переменных.

Рассмотрим задачу численного интегрирования системы дифференциальных уравнений первого порядка

$$\frac{dx_i}{dt} = f_i(x_1, x_2, \dots, x_n, t) \quad (i = 1, 2, 3, \dots, n) \quad (9)$$

с начальными условиями $x_1 = x_1^{(0)}$, $x_2 = x_2^{(0)}$, ..., $x_n = x_n^{(0)}$ при $t = t_0$. Переменные x_1, x_2, \dots, x_n суть координаты, а независимая переменная t – время. Интегрирование этих уравнений методом ломаных отрезков проводится по следующим простым формулам. Пусть мы имеем значения искомых функций для момента t_k , т. е.

$$x_i^{(k)} = x_i(t_k) \quad (i = 1, 2, 3, \dots, n).$$

Выберем шаг интегрирования h . Значения функций для момента $t_{k+1} = t_k + h$, т. е. $x_i^{(k+1)} = x_i(t_{k+1})$ ($i = 1, 2, 3, \dots, n$) найдутся по формуле

$$x_i^{(k+1)} = x_i^{(k)} + f_i(x_1^{(k)}, x_2^{(k)}, \dots, x_n^{(k)}, t_k) h \quad (i = 1, 2, 3, \dots, n).$$

Применяя эту формулу для $k = 0, 1, 2, \dots$, можно добраться до конечно-

го момента времени $t = T$.

1.2.5. Общая схема решения задач

Из выше описанных задач и методов можно увидеть три относительно независимых блока алгоритма решения любой такой задачи.

В первом блоке формулируется исследовательская задача. Это либо получение зависимости точности интегрирования от шага, либо получение зависимости точности интегрирования от интервала времени. Эти формулировки не зависят от того, какие уравнения решаются и каким методом.

Второй блок содержит алгоритм метода численного интегрирования. Это может быть метод Эйлера, метод Рунге-Кутты или метод Эверхарта. В этом алгоритме понадобится вычисление правых частей уравнений. Вычисление правых частей средствами языков программирования может быть вынесено из блока метода численного интегрирования. Тогда этот блок оказывается независимым от постановки задачи и от вида правых частей уравнений.

В третьем блоке просто вычисляются правые части уравнений. Этот блок не зависит ни от постановки задачи, ни от метода интегрирования.

Такое разделение функций на три блока позволяет легко модифицировать вычислительную программу для любой задачи рассматриваемого семейства. Нужно просто заменять соответствующие блоки.

Структура вычислительной программы приведена на Рис. 1. Вариант “Задача трех тел” изображен для обобщения схемы на разные модели движения. В данном описании рассматривается только задача двух тел.

Все варианты трех блоков могут быть запрограммированы по данным выше описаниям. Не хватает только описания метода Эверхарта. Для применения этого метода следует взять готовую программу, написанную на выбранном языке программирования. В ведущих астрономических институтах (например, ГАИШ МГУ, ИПА РАН, ГАО РАН) эти программы широко используются и передаются заинтересованным коллегам. Инструкция для применения метода Эверхарта приведена выше.

На языках программирования Фортран, Си и Паскаль вышеуказанные блоки реализуются в виде процедур или функций. Отметим некоторые особенности программирования данного семейства задач.

Обмен данными между блоками программы осуществляется через формальные параметры процедур или функций. Однако для вычисления правых частей уравнений могут понадобиться значения некоторых

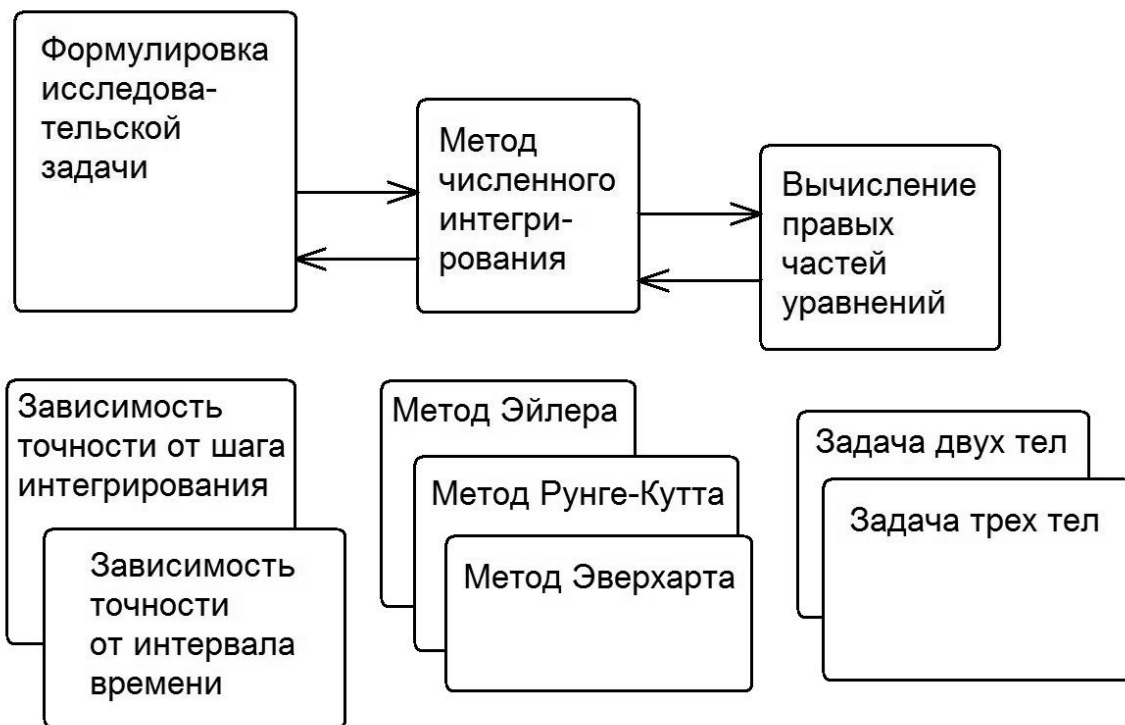


Рис. 1: Структура вычислительной программы решения задачи. Сверху: блоки программы. Снизу: возможные варианты блоков.

постоянных параметров. Например, в задаче Кеплера это гравитационный параметр μ . Чтобы не загромождать обращения к процедурам передачей значений этих параметров, можно использовать для них глобальные переменные.

В блоке метода численного интегрирования оно проводится для всего заданного интервала времени. Операции по шагам интегрирования организуются внутри блока. Таким образом, исходными данными для блока метода численного интегрирования будут значения искомых функций на начальный момент времени, величина интервала интегрирования и шаг интегрирования. Результатом работы блока будут значения искомых функций на конечный момент времени. В рассмотренных выше вариантах задач начальный момент времени может быть задан равным нулю.

В общем случае величина шага интегрирования может быть несоизмерима с интервалом интегрирования. Т. е. в интервале интегрирования не укладывается целое число шагов. Это может привести к ситуации, когда вычисление значений искомых функций на конечный момент времени оказывается невозможным. Это препятствие можно преодолеть следующим способом.

Рассмотрим цикл вычислений по шагам интегрирования. Схема алгоритма может быть такой.

1. Задание шага интегрирования (в переменной h_0).
2. Пересылка шага интегрирования из переменной h_0 в некоторую промежуточную переменную h - текущий шаг интегрирования.
3. Присвоение начальных значений искомых функций и начального момента времени $t = 0$.
4. Проверка: не выходит ли момент времени $t + h$ за пределы интервала времени интегрирования.
5. Если момент времени $t + h$ выходит за пределы интервала времени интегрирования, то нужно модифицировать шаг, т. е. присвоить переменной h значение $T - t$.
6. Вычисление значений искомых функций на момент $t + h$ по формулам метода численного интегрирования.
7. Приращение текущего момента времени, т. е. операция $t = t + h$.
8. Проверка достижения конца интервала интегрирования - проверка условия $t \geq T$. Если условие не выполнено, то переходим к пункту 4.
9. Иначе заканчиваем интегрирование - выходим из блока.

В таком алгоритме вычисления автоматически закончатся получением значений искомых функций на момент T .

1.3. Методическое указание о формулировке задачи каждому студенту

Как видно из описания практикума, возможна формулировка большого ряда различных задач в рассматриваемом семействе. Задачи могут различаться по постановке исследований (зависимость точности от шага интегрирования или зависимость точности от длины интервала времени), по начальным условиям, и по методу численного интегрирования (метод Эйлера, метод Рунге-Кутты, метод Эверхарта). Следует предусмотреть сравнение между собой результатов в разных вариантах.

Для реализации методов и выполнения практикума понадобится компьютер с установленным в нем компилятором с одного из языков программирования (Фортран, Си или Паскаль).

Студентам, имеющим некоторый опыт программирования, можно предложить составление программы решения задачи самостоятельно с возможностью необходимых консультаций. С остальными студентами нужно проводить занятия, чтобы обучить их программированию на примере задачи практикума.

1.4. Форма отчета по задаче практикума.

Каждому студенту предлагается один вариант из задач рассматриваемого семейства. После решения задачи студент должен подготовить письменный отчет по следующему плану:

1. Введение (О чем идет речь? Почему возникают рассматриваемые проблемы? Зачем это нужно в широком плане?).
2. Постановка задачи (Цель исследования. Что дано? Что определить?).
3. Описание исследуемой механической модели (Привести уравнения движения).
4. Задание начальных условий.
5. Указания на применяемые методы (Описания методов интегрирования приводить не следует).
6. Полученные результаты (Таблицы, графики с объяснениями).
7. Выводы (Констатация того, что искомый результат получен).

В целом такой отчет может иметь объем 3-5 страниц.

Литература

1. Бодовицына Т.В. Современные численные методы в задачах небесной механики. – М.: Наука. 1984 Главная редакция физико-математической литературы, 136 с.
2. Butcher J.C. Coefficients for the Study of Runge-Kutta Integration Processes. – J. Austral. Math. Soc., 1963, v. 3, p. 185 - 201.
3. Butcher J.C. On the Runge-Kutta Processes of High Order. – J. Austral. Math. Soc., 1964, v. 4, p. 179 - 195.
4. Butcher J.C. Implicit Runge-Kutta Processes. – Math. Comp., 1964, v. 18, p. 50 - 64.
5. Современные численные методы решения обыкновенных дифференциальных уравнений / Под ред. Дж. Холла, Дж. Уатта. – М.: Мир, 1979, 312 с.
6. Справочное руководство по небесной механике и астродинамике / Под ред. Г.Н.Дубошина. – М.: Наука, 1976, 862 с.